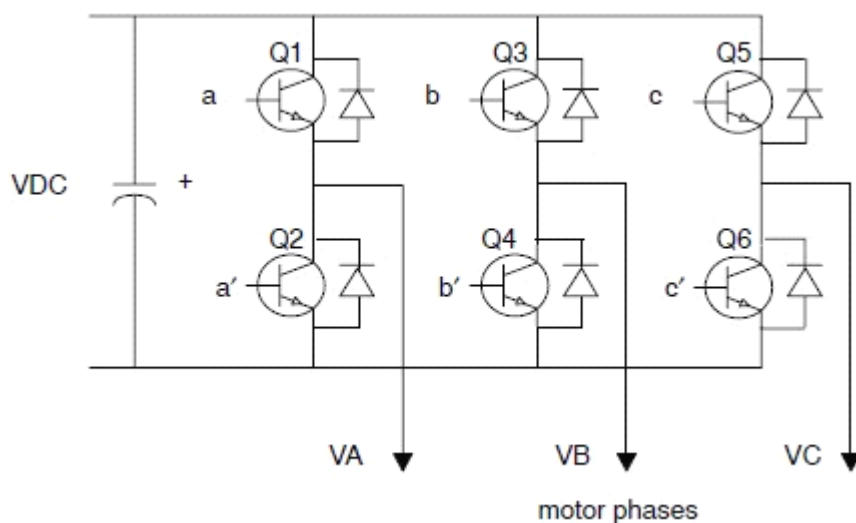


1、逆变电路：



2、简化逆变电路：

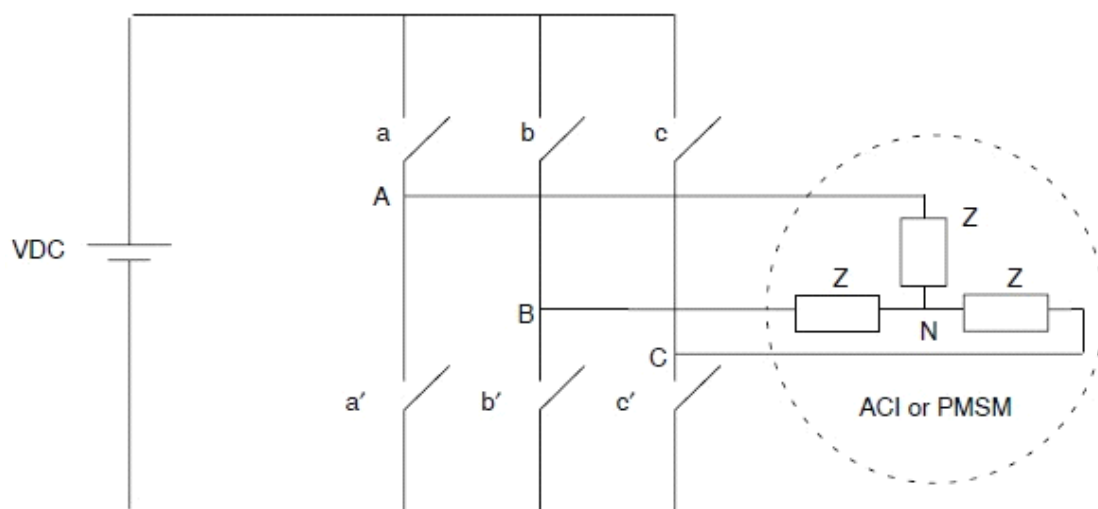


Figure 35. Power Bridge for a Three-Phase VSI

3、逆变电路开关组合及输出电压情况：

Table 75. Device On/Off Patterns and Resulting Instantaneous Voltages of a 3-Phase Power Inverter

c	b	a	$V_{AN}$	$V_{BN}$	$V_{CN}$	$V_{AB}$	$V_{BC}$	$V_{CA}$
0	0	0	0	0	0	0	0	0
0	0	1	$2V_{DC}/3$	$-V_{DC}/3$	$-V_{DC}/3$	$V_{DC}$	0	$-V_{DC}$
0	1	0	$-V_{DC}/3$	$2V_{DC}/3$	$-V_{DC}/3$	$-V_{DC}$	$V_{DC}$	0
0	1	1	$V_{DC}/3$	$V_{DC}/3$	$-2V_{DC}/3$	0	$V_{DC}$	$-V_{DC}$
1	0	0	$-V_{DC}/3$	$-V_{DC}/3$	$2V_{DC}/3$	0	$-V_{DC}$	$V_{DC}$
1	0	1	$V_{DC}/3$	$-2V_{DC}/3$	$V_{DC}/3$	$V_{DC}$	$-V_{DC}$	0
1	1	0	$-2V_{DC}/3$	$V_{DC}/3$	$V_{DC}/3$	$-V_{DC}$	0	$V_{DC}$
1	1	1	0	0	0	0	0	0

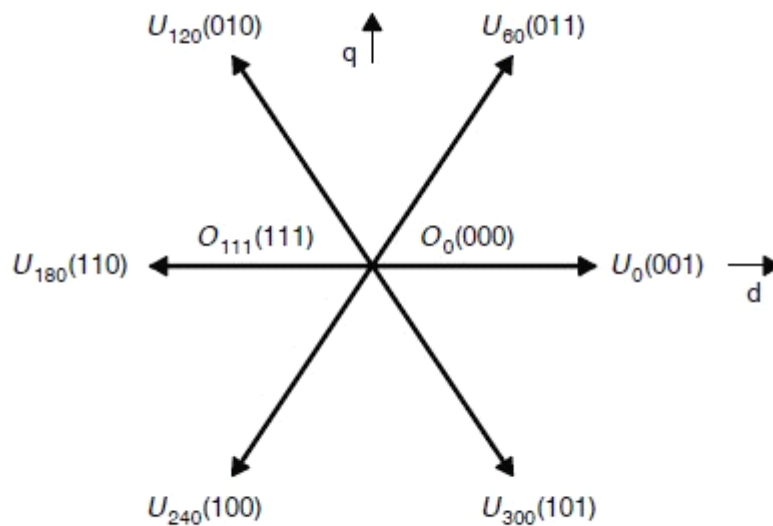
4、静止 3-2 横相幅值变换后：

$$\begin{bmatrix} V_{ds} \\ V_{qs} \end{bmatrix} = \frac{2}{3} \begin{bmatrix} 1 & -\frac{1}{2} & -\frac{1}{2} \\ 0 & \frac{\sqrt{3}}{2} & -\frac{\sqrt{3}}{2} \end{bmatrix} \begin{bmatrix} V_{AN} \\ V_{BN} \\ V_{CN} \end{bmatrix} \Rightarrow \begin{cases} V_{ds} = V_{AN} \\ V_{qs} = \frac{(2V_{BN} + V_{AN})}{\sqrt{3}} \end{cases}$$

**Table 76. Switching Patterns, Corresponding Space Vectors, and their (d-q) Components**

c	b	a	$V_{ds}$	$V_{qs}$	Vector
0	0	0	0	0	$O_0$
0	0	1	$\frac{2V_{DC}}{3}$	0	$U_0$
0	1	0	$-\frac{V_{DC}}{3}$	$\frac{V_{DC}}{\sqrt{3}}$	$U_{120}$
0	1	1	$\frac{V_{DC}}{3}$	$\frac{V_{DC}}{\sqrt{3}}$	$U_{60}$
1	0	0	$-\frac{V_{DC}}{3}$	$-\frac{V_{DC}}{\sqrt{3}}$	$U_{240}$
1	0	1	$\frac{V_{DC}}{3}$	$-\frac{V_{DC}}{\sqrt{3}}$	$U_{300}$
1	1	0	$-\frac{2V_{DC}}{3}$	0	$U_{180}$
1	1	1	0	0	$O_{111}$

即有(c,b,a):



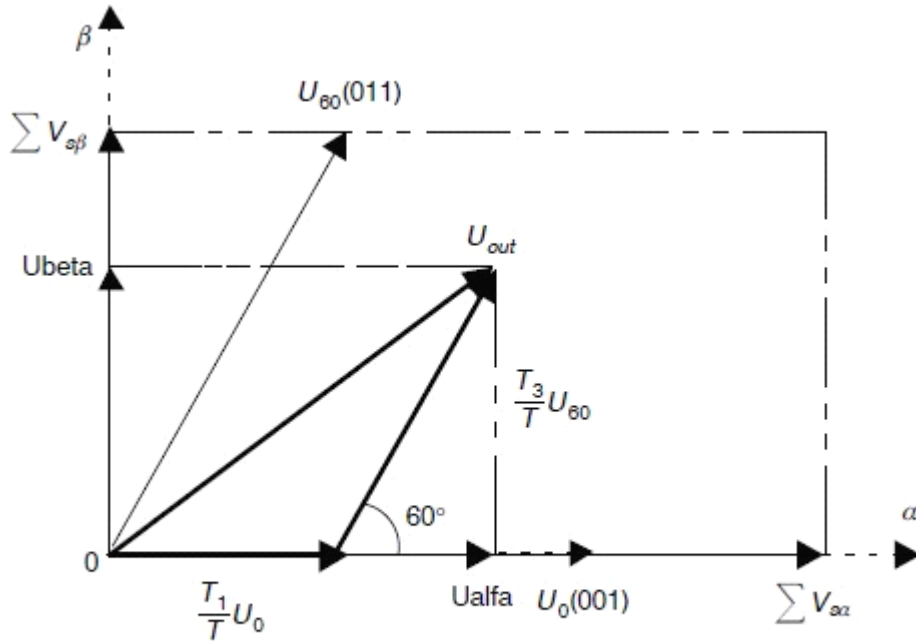
**Figure 36. Basic Space Vectors**

The objective of Space Vector PWM technique is to approximate a given stator reference voltage vector  $V^*$  by combination of the switching pattern corresponding to the basic space vectors. The reference voltage vector  $V^*$  is obtained by mapping the desired three phase output voltages (line to neutral) in the (d-q) frame through the Clarke transform defined earlier.

5、跟 SPWM 调制相比，SVPWM 调制具有谐波少、电压利用率高的优点。

$U_{out}$  由  $\alpha$ 、 $\beta$  轴分量组成：

$$\begin{aligned} \sum V_{s\beta} &= 0 + \frac{V_{DC}}{\sqrt{3}} = \frac{V_{DC}}{\sqrt{3}} \\ \sum V_{s\alpha} &= \frac{2V_{DC}}{3} + \frac{V_{DC}}{3} = V_{DC} \end{aligned} \quad (1)$$



**Figure 30. Projection of the Reference Voltage Vector**

SVPWM 把每一个扇区分成若干个对应于开关周期的小区间，在每个小区间，用所在扇区的有效电压矢量  $U_x$ 、 $U_y$  和零电压矢量 ( $U_0$  或者  $U_7$ ) 的线性组合来合成参考电压矢量  $V^*$ 。

**SVPWM流程：**

- 1、确定扇区；
- 2、计算X、Y、Z, 进而计算  $t_1$ 、 $t_2$ ；
- 3、确定  $t_{aon}$ 、 $t_{con}$ 、 $t_{con}$ ；
- 4、把  $t_{aon}$ 、 $t_{con}$ 、 $t_{con}$  赋给  $T_a$ 、 $T_b$ 、 $T_c$ ；
- 5、进而  $T_a$ 、 $T_b$ 、 $T_c$  赋给CMPRx。

**1、扇区判断：**

通过逆Clarke变换，把  $U_\alpha$ 、 $U_\beta$  变换成三相对称系统下：

$$\begin{aligned} U_{ref1} &= U_\beta \\ U_{ref2} &= \frac{-U_\beta + U_\alpha \times \sqrt{3}}{2} \\ U_{ref3} &= \frac{-U_\beta - U_\alpha \times \sqrt{3}}{2} \end{aligned} \quad (2)$$

例如，当  $U_\alpha = \sin \omega t, U_\beta = \cos \omega t$  时，有：

$$\begin{aligned} U_{ref1} &= \cos \omega t \\ U_{ref2} &= \cos(\omega t - 120^\circ) \\ U_{ref3} &= \cos(\omega t + 120^\circ) \end{aligned} \quad (3)$$

可以看出，上述变换中， $U_{ref1}$  定位在  $\beta$  轴，该变换比常规的Clarke逆变换超前 $90^\circ$ ；实际上，当  $U_\alpha = \sin \omega t, U_\beta = \cos \omega t$  时，常规的Clarke逆变换为：

$$\begin{aligned} U_a &= \sin \omega t \\ U_b &= \sin(\omega t - 120^\circ) \\ U_c &= \sin(\omega t + 120^\circ) \end{aligned} \quad (4)$$

可以通过  $U_{ref1}$ 、 $U_{ref2}$ 、 $U_{ref3}$  的极性来判断  $U_{out}$  所处扇区，令：

$$a = \begin{cases} 1, U_{ref1} > 0 \\ 0, U_{ref1} \leq 0 \end{cases} \quad b = \begin{cases} 1, U_{ref2} > 0 \\ 0, U_{ref2} \leq 0 \end{cases} \quad c = \begin{cases} 1, U_{ref3} > 0 \\ 0, U_{ref3} \leq 0 \end{cases} \quad (5)$$

上述三个判断式实际上是以3条轴线为分界进行的判断：

判断电压	$U > 0$	$U < 0$
Uref1	S1、S2、S3	S4、S5、S6
Uref2	S1、S5、S6	S2、S3、S4
Uref3	S3、S4、S5	S1、S2、S6

定义  $N = a + 2 * b + 4 * c$ ，则N与扇区的对应关系如下：

N	1	2	3	4	5	6
S	2	6	1	4	3	2

## 2、时间计算：

以上图为例，在第一扇区中， $U_{out}$  可由  $U_0$  和  $U_{60}$  来表示：

$$\begin{aligned} T &= T_1 + T_3 + T_0 \\ U_{out} &= \frac{T_1}{T} U_0 + \frac{T_3}{T} U_{60} \end{aligned} \quad (6)$$

$T_1$  和  $T_3$  分别为  $U_0$  和  $U_{60}$  作用的时间，可由下式求得：

$$\begin{aligned} U_\beta &= \frac{T_3}{T} |U_{60}| \sin(60^\circ) \\ U_\alpha &= \frac{T_1}{T} |U_0| + \frac{T_3}{T} |U_{60}| \cos(60^\circ) \end{aligned} \quad (7)$$

**电压幅值进行归一化处理：** 线电压最大值为  $V_{dc}$ ，以相电压最大值  $\frac{V_{dc}}{\sqrt{3}}$  为基值，则有：

$U_0 = U_{60} = \frac{2}{3}V_{dc}$ , 其标么值为  $\frac{2}{\sqrt{3}}$ 。根据式(3)可得:

$$T_1 = \frac{T}{2}(\sqrt{3}U_\alpha - U_\beta) \quad (8)$$

$$T_3 = TU_\beta$$

时间进行归一化处理: 以载波周期  $T$  为基值, 则有:

$$t_1 = \frac{T_1}{T} = \frac{1}{2}(\sqrt{3}U_\alpha - U_\beta) \quad (9)$$

$$t_2 = \frac{T_3}{T} = U_\beta$$

同理, 在第二扇区中,  $U_{out}$  可由  $U_{120}$  和  $U_{60}$  来表示, 则有:

$$t_1 = \frac{T_2}{T} = \frac{1}{2}(-\sqrt{3}U_\alpha + U_\beta) \quad (10)$$

$$t_2 = \frac{T_3}{T} = \frac{1}{2}(\sqrt{3}U_\alpha + U_\beta)$$

其中,  $T_2$  是  $U_{120}$  作用的时间。

$$X = U_\beta$$

$$Y = \frac{1}{2}(\sqrt{3}U_\alpha + U_\beta) \quad (11)$$

$$Z = \frac{1}{2}(-\sqrt{3}U_\alpha + U_\beta)$$

这样一来, 在第一扇区中,  $t_1 = -Z, t_2 = X, t_1 - U_0, t_2 - U_{60}$ ; 在第二扇区中,  $t_1 = Z, t_2 = Y, t_1 - U_{120}, t_2 - U_{60}$ 。其它扇区中, 如下表所示:

**Table 70. t1 and t2 Definitions for Different Sectors in Terms of X, Y and Z Variables**

Sector	$U_0, U_{60}$	$U_{60}, U_{120}$	$U_{120}, U_{180}$	$U_{180}, U_{240}$	$U_{240}, U_{300}$	$U_{300}, U_0$
t1	-Z	Z	X	-X	-Y	Y
t2	X	Y	Y	Z	-Z	-X

扇区	1	2	3	4	5	6
t1对应矢量	U0	U120	U120	U240	U240	U0
t2对应矢量	U60	U60	U180	U180	U300	U300

采用七段式SVPWM调制, 每个载波周期中依次有: 1个开关导通-2个开关导通-3个开关导通-2个开关导通-1个开关导通。

3、确定  $t_{aon}$ 、 $t_{con}$ 、 $t_{con}$  :

$$t_{aon} = \frac{T - t_1 - t_2}{2}$$

$$t_{bon} = t_{aon} + t_1 \quad (12)$$

$$t_{con} = t_{bon} + t_2$$

4、把  $t_{aon}$ 、 $t_{con}$ 、 $t_{con}$  赋给  $T_a$ 、 $T_b$ 、 $T_c$ , 进而  $T_a$ 、 $T_b$ 、 $T_c$  赋给CMPRx:

确定了  $t_{aon}$ 、 $t_{con}$ 、 $t_{con}$  后, 应根据输出电压矢量所处扇区来给DSP赋值, 这种对应关系

如下表:

**Table 71. Assigning the Right Duty Cycle to the Right Motor Phase**

Sector	U <sub>0</sub> , U <sub>60</sub>	U <sub>60</sub> , U <sub>120</sub>	U <sub>120</sub> , U <sub>180</sub>	U <sub>180</sub> , U <sub>240</sub>	U <sub>240</sub> , U <sub>300</sub>	U <sub>300</sub> , U <sub>0</sub>
Ta	taon	tbon	tcon	tcon	tbon	taon
Tb	tbon	taon	taon	tbon	tcon	tcon
Tc	tcon	tcon	tbon	taon	taon	tbon

```

=====程序部分--C++版=====
/*=====
File name: SVGEN_DQ.C (IQ version)
Originator: Digital Control Systems Group Texas Instruments
Description: Space-vector PWM generation based on d-q components
=====
-----
History: 04-15-2005 Version 3.20
-----*/

#include "IQmathLib.h" // Include header for IQmath library
// Don't forget to set a proper GLOBAL_Q in "IQmathLib.h" file

#include "dmctype.h"
#include "svgen_dq.h"

void svgendq_calc(SVGENDQ *v)
{
    _iq Va,Vb,Vc,t1,t2;
    Uint32 Sector = 0; // Sector is treated as Q0 - independently with global Q

// Inverse clarke transformation
    Va = v->Ubeta;
    Vb = _IQmpy(_IQ(-0.5),v->Ubeta) + _IQmpy(_IQ(0.8660254),v->Ualpha); // sqrt(3)/2
    Vc = _IQmpy(_IQ(-0.5),v->Ubeta) - _IQmpy(_IQ(0.8660254),v->Ualpha); // sqrt(3)/2

// 60 degree Sector determination
    if (Va>_IQ(0))
        Sector = 1;
    if (Vb>_IQ(0))
        Sector = Sector + 2;
    if (Vc>_IQ(0))
        Sector = Sector + 4;

// X,Y,Z (Va,Vb,Vc) calculations
    Va = v->Ubeta; // X = Va
    Vb = _IQmpy(_IQ(0.5),v->Ubeta) + _IQmpy(_IQ(0.8660254),v->Ualpha); // Y = Vb
    Vc = _IQmpy(_IQ(0.5),v->Ubeta) - _IQmpy(_IQ(0.8660254),v->Ualpha); // Z = Vc
}

```

```

if (Sector==0) // Sector 0: this is special case for (Ualpha,Ubeta) = (0,0)
{
    v->Ta = _IQ(0.5);
    v->Tb = _IQ(0.5);
    v->Tc = _IQ(0.5);
}
if (Sector==1) // Sector 1: t1=Z and t2=Y (abc ---> Tb,Ta,Tc), 60-120
{
    t1 = Vc;
    t2 = Vb;
    v->Tb = _IQmpy(_IQ(0.5),(_IQ(1)-t1-t2)); // tbon = (1-t1-t2)/2
    v->Ta = v->Tb+t1; // taon = tbon+t1
    v->Tc = v->Ta+t2; // tcon = taon+t2
}
else if (Sector==2) // Sector 2: t1=Y and t2=-X (abc ---> Ta,Tc,Tb), 300-360
{
    t1 = Vb;
    t2 = -Va;
    v->Ta = _IQmpy(_IQ(0.5),(_IQ(1)-t1-t2)); // taon = (1-t1-t2)/2
    v->Tc = v->Ta+t1; // tcon = taon+t1
    v->Tb = v->Tc+t2; // tbon = tcon+t2
}
else if (Sector==3) // Sector 3: t1=-Z and t2=X (abc ---> Ta,Tb,Tc), 0-60
{
    t1 = -Vc;
    t2 = Va;
    v->Ta = _IQmpy(_IQ(0.5),(_IQ(1)-t1-t2)); // taon = (1-t1-t2)/2
    v->Tb = v->Ta+t1; // tbon = taon+t1
    v->Tc = v->Tb+t2; // tcon = tbon+t2
}
else if (Sector==4) // Sector 4: t1=-X and t2=Z (abc ---> Tc,Tb,Ta), 180-240
{
    t1 = -Va;
    t2 = Vc;
    v->Tc = _IQmpy(_IQ(0.5),(_IQ(1)-t1-t2)); // tcon = (1-t1-t2)/2
    v->Tb = v->Tc+t1; // tbon = tcon+t1
    v->Ta = v->Tb+t2; // taon = tbon+t2
}
else if (Sector==5) // Sector 5: t1=X and t2=-Y (abc ---> Tb,Tc,Ta), 120-180
{
    t1 = Va;
    t2 = -Vb;
    v->Tb = _IQmpy(_IQ(0.5),(_IQ(1)-t1-t2)); // tbon = (1-t1-t2)/2

```

```

v->Tc = v->Tb+t1; // tcon = tbon+t1
v->Ta = v->Tc+t2; // taon = tcon+t2
}
else if (Sector==6) // Sector 6: t1=-Y and t2=-Z (abc ---> Tc,Ta,Tb), 240-300
{
t1 = -Vb;
t2 = -Vc;
v->Tc = _IQmpy(_IQ(0.5),(_IQ(1)-t1-t2)); // tcon = (1-t1-t2)/2
v->Ta = v->Tc+t1; // taon = tcon+t1
v->Tb = v->Ta+t2; // tbon = taon+t2
}

```

// Convert the unsigned GLOBAL\_Q format (ranged (0,1)) -> signed GLOBAL\_Q format (ranged (-1,1))

```

v->Ta = _IQmpy(_IQ(2.0),(v->Ta-_IQ(0.5)));
v->Tb = _IQmpy(_IQ(2.0),(v->Tb-_IQ(0.5)));
v->Tc = _IQmpy(_IQ(2.0),(v->Tc-_IQ(0.5)));
}

```

5、把  $T_a$ 、 $T_b$ 、 $T_c$  赋给 CMPRx:

在把  $T$  赋给 CMPRx 之前先进行  $T=2*(T-0.5)$  处理, 赋值时再进行  $CMPR=(T/2+1/2)*T1PR$  处理, 实际上  $T=2*(T-0.5)/2+0.5=T$ , 变换前后没有变化, 但这样便于采用赋值函数直接进行赋值。

分析一: 第一扇区, 设  $dx=0.3$ ,  $dy=0.5$ ,  $dz=0.2$  为例;

处理前:  $T_a=0.1$ ,  $T_b=0.4$ ,  $T_c=0.9$ ,

经  $T=2*(T-0.5)$  处理后:  $T_a=-0.8$ ,  $T_b=-0.2$ ,  $T_c=0.8$ ;

赋值时再进行  $CMPR=T/2+T1PR/2$  处理后:  $T_a=0.1$ ,  $T_b=0.4$ ,  $T_c=0.9$ ;

